

УДК 548.31; 538.915

Ю. Н. Журавлев, А. С. Поплавной, И. А. Федоров

ЗОННАЯ СТРУКТУРА И ХИМИЧЕСКАЯ СВЯЗЬ В КАРБОНАТАХ ЛИТИЯ И НАТРИЯ

Введение

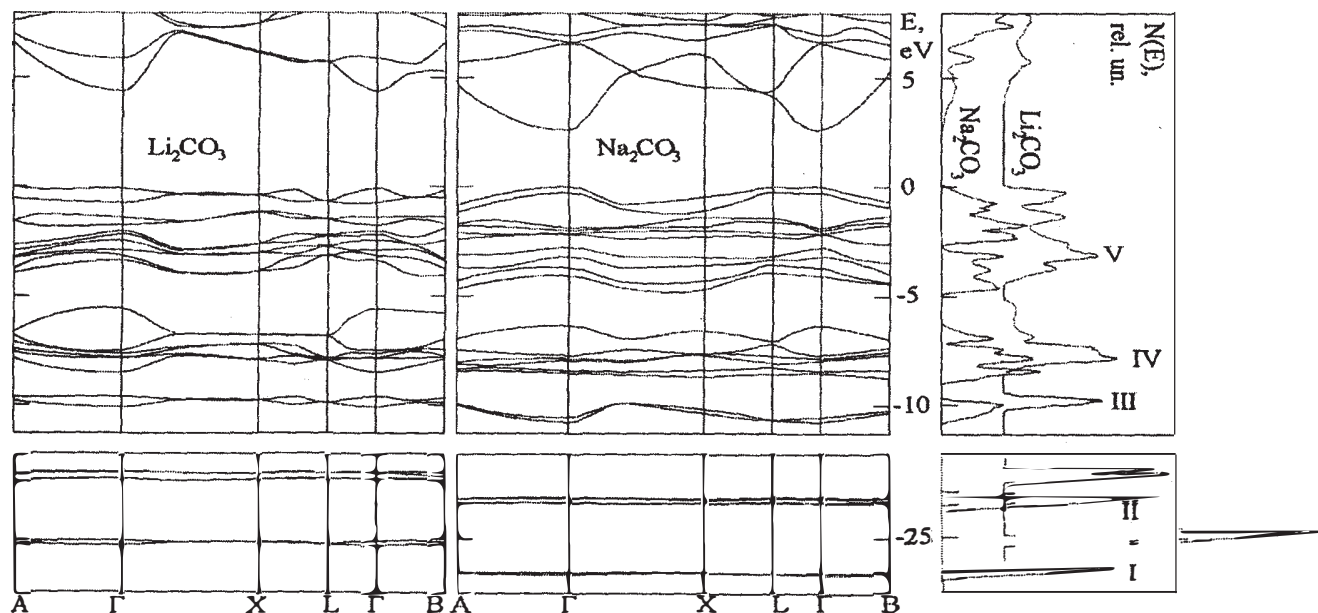
Карбонаты металлов находят разнообразное применение в качестве компонент в конструкционных и технологических материалах, в связи с чем их физические и физико-химические свойства всесторонне изучались в основном экспериментальными методами. К настоящему времени наиболее исследованными являются карбонаты щелочноземельных металлов, значительно слабее исследованы карбонаты щелочных металлов. В большинстве работ принято рассматривать поведение рядов оксиационных кристаллов с точки зрения фундаментальных свойств соответствующего аниона. Вместе с тем известно, что физико-химические свойства родственных соединений в ряде случаев существенно различаются также и за счет изменения их катионного состава. В настоящей работе изучается электронное строение карбонатов лития и натрия с целью установления роли катионов в формировании зонной структуры и химической связи.

Расчет зонной структуры выполнен в рамках теории функционала плотности методом псевдопотенциала в базисе численных sp^3d^f псевдоорбиталей, разложенных в ряд по ~ 3000 плоским волнам. Плотность состояний $N(E)$ вычислялась интерполярованием энергетических зон симметризованными рядами Фурье. Для анализа химической связи используется метод подрешеток [1], который состоит в вычислении разностной плотности, получаемой вычитанием из валентной кристаллической всех валентных плотностей подрешеток и определяющей направление перетока заряда, вызванного их взаимодействием.

Карбонаты лития и натрия относятся к моноклинной сингонии с пространственными группами симметрии соответственно $C2/c$ и $C2/m$. В элементарной ячейке кристаллов содержится по две формулярные единицы, однако число подрешеток разное. В Li_2CO_3 можно выделить по одной подрешетке лития и углерода и две неэквивалентные подрешетки кислорода с расстояниями $C-O1=1.267 \text{ \AA}$, $C-O2=1.289 \text{ \AA}$ [2]. В Na_2CO_3 имеется три подрешетки натрия: $C-Na1=3.230 \text{ \AA}$, $C-Na2=3.078 \text{ \AA}$, $C-Na3=2.992 \text{ \AA}$ и две кислорода: $C-O1=1.257 \text{ \AA}$, $C-O2=1.276 \text{ \AA}$. Атом металла окружен в Li_2CO_3 четырьмя атомами кислорода с наименьшим расстоянием в 1.899 \AA . Атомы натрия $Na1$, $Na2$ имеют близкое к октаэдрическому окружению из атомов кислорода и наименьшие расстояния составляют $Na1-O1=2.358 \text{ \AA}$, $Na2-O1=2.312 \text{ \AA}$, что существенно меньше, чем $Na3-O1=2.590 \text{ \AA}$. Как отмечается в [3], $Na3$ имеет качественное отличие от других атомов окружение. Кристаллическая структура карбоната натрия представляет интерес сама по себе, и она была предметом многих исследований [3, 4]. В настоящей работе используются данные [3].

Зонная структура и плотность состояний

На рис. 1 приведены зонные спектры $E_{\alpha}(\mathbf{k})$ и плотности состояний $N(E)$ карбонатов лития и натрия. За нуль энергии принято последнее заполненное состояние. Точки зоны Брилюэна имеют следующие координаты в единицах векторов обратной решетки: $A(1/2, 1/2, 0)$, $\Gamma(0, 0, 0)$, $X(1/2, 1/2, 1/2)$, $L(1/2, 0, 0)$, $B(0, 1/2, 1/2)$. Спектры $N(E)$ нормированы на число включенных в расчет состояний.

Рис. 1. Зонный спектр и плотность электронных состояний $N(E)$ в Li_2CO_3 и Na_2CO_3

В валентной области содержится 24 зоны, которые группируются в пять связок, разделенных запрещенными участками энергии. Каждой связке в плотности состояний сопоставляется отдельная полоса, для указания которых используются цифры I–V. Положения центров тяжести пиков $N(E)$ коррелируют с рассчитанными квантово-химическими методами энергиями молекулярных орбиталей иона CO_3^{2-} и измеренными в [5] фотоэлектронным спектром Li_2CO_3 , а также вычисленным ранее в [1] зонным спектром $MgCO_3$.

Для установления природы квантовых состояний используются карты распределения парциальной электронной плотности, полученные для отдельных связок зон. Так, две зоны I имеют ширину 0.22 эВ в Li_2CO_3 и 0.1 эВ в Na_2CO_3 , и они образованы s -состояниями кислорода, так что вклад $O1$ (в пересчете на один атом) является доминирующим. Связка из четырех зон II также шире в Li_2CO_3 : 0.72 эВ против 0.33 эВ в Na_2CO_3 . Здесь вклады s -состояний атомов кислорода примерно одинаковы, но гибридизация значительно сильнее для пары эквивалентных атомов ($O2$ в Li_2CO_3 и $O1$ в Na_2CO_3). Различный характер гибридизаций в кислородных подрешетках обусловливает имеющееся в полосе II $N(E)$ расщепление.

В середине валентной области располагаются связки III и IV, образованные гибридизованными s - и p -состояниями атомов кислорода, углерода. Наибольшая степень гибридизации наблюдается для состояний атомов углерода и кислорода с кратчайшими расстояниями. Поскольку число этих атомов различно, то и ширины соответствующих зон будут также отличаться.

Верхняя валентная область V имеет ширину в Na_2CO_3 4.69 эВ, и она образована практически не пересекающимися по энергии связками из четырех и шести зон. В Li_2CO_3 группировка зон другая, и это проявляется в разном строении $N(E)$. Кристаллические орбитали (КО), отвечающие состояниям из этой области энергетического спектра, построены практически полностью из π -орбиталей кислорода, имеющих для связок разную поляризационную зависимость: для нижней – в плоскости лития, для верхней – перпендикулярно ей. КО самой верхней валентной зоны имеют более гибридизованный характер и в ее образовании принимают участие π -орбитали углерода, направленные перпендикулярно анионной плоскости. Вершина валентной и дно нижней незанятой зоны приходятся на точку Г. Ширина запрещенной зоны составляет в Li_2CO_3 4.39 эВ и в Na_2CO_3 2.63 эВ. Здесь следует иметь ввиду, что используемый метод функционала плотности приводит к ее заниженным значениям. Как видно из рис. 1, нижние незанятые зоны имеют сильно дисперсионный характер, отвечающая им гипотетическая электронная плотность локализована на анионе.

Химическая связь

Для установления механизмов образования химической связи в карбонатах щелочных металлов обратимся к распределению кристаллической, под-

решеточных и разностной плотностей. На рис. 2 приведены карты кристаллической $\rho(r)$ и разностной $\Delta\rho(r)$ плотностей в анионной плоскости каждого из кристаллов. Отрицательным значениям $\Delta\rho(r)$ соответствуют пунктирные линии, положительным – сплошные и нулевой контур выделен жирным. Численные значения даются в $e\text{\AA}^{-3}$ (e – заряд электрона) и всюду используется равномерная шкала. На вставках в рисунках приведены профили распределений плотностей вдоль соответствующих линий связей.

Распределение валентной плотности указывает на наличие в кристаллах выраженной цепочечной структуры, образованной за счет перекрывания электронных облаков соседних анионов. Направления цепочек совпадает с линией $C-O1$ в Li_2CO_3 и $O1-O1$ в Na_2CO_3 , и, как видно из рис. 2, они взаимноперпендикулярны. Такой характер распределения электронной плотности в карбонатах щелочных металлов резко отличается от $MgCO_3$, где она имеет слоистое строение. В Na_2CO_3 атомы $O1$ объединены общими линиями уровня $\rho(r)$ заметной величины.

Подрешеточные плотности от атомов аниона в обоих соединениях также имеют в указанных направлениях цепочечную структуру. Распределение валентной плотности в металлических подрешетках достаточно равномерное, с небольшими минимумами, приходящимися на позиции самих атомов, и максимумами в межатомной области. В решетке Li_2CO_3 этот максимум приходится на точку пересечения линий с кратчайшими расстояниями $Li-Li=2.700 \text{ \AA}$ и $O2-O2=2.907 \text{ \AA}$ для двух соседних анионов. Таким образом, подрешетка лития участием своих валентных электронов связывает анионные цепочки между собой. Более сложная ситуация имеет место в Na_2CO_3 . Подрешетка $Na3$ играет роль, аналогичную литию, т. е. связывает цепочки посредством атомов $O1$ соседних анионов. Максимум плотности от подрешетки $Na1$ приходится на линию $O2-O2$ соседних анионов, и она также работает на связь цепочек. Наконец, подрешетка $Na2$ распределяет большую часть своего заряда в области между соседними анионами внутри цепочки.

Установленные особенности гибридизации подрешеток находят отражение в разностной плотности. Так, в Li_2CO_3 заряд вытекает из области в форме σ -орбитали атома $O1$ и, ориентированных перпендикулярно плоскости аниона, π -орбиталей атомов $O2$. С другой стороны, заряд натекает в связывающую область $C-O2$ и за атомы кислорода, симметрично этой линии. Такое же распределение $\Delta\rho(r)$ наблюдалось и в $MgCO_3$ [1], с той разницей, что сейчас один из парных максимумов имеет общие линии уровня с максимумом на связи. Различный характер электронного перетока приводит к тому, что в кристалле незквивалентные атомы кислорода находятся в разном зарядовом состоянии и имеют разную силу химического связывания с углеродом.

В Na_2CO_3 , заряд вытекает из π -области атома $O2$ и σ -области атомов $O1$ и, наоборот, натекает в σ -область $O2$ и π -область $O1$. В отличии от карбо-

ната лития, переток заряда наблюдается вблизи ядра углерода. Заряд вытекает из π -области перпендикулярной плоскости аниона и натекает в связывающие области $C-O1$ с максимумом, смещенном ближе к

ядру. Таким образом, распределение разностной плотности свидетельствует о различном характере химической связи в карбонатах лития и натрия.

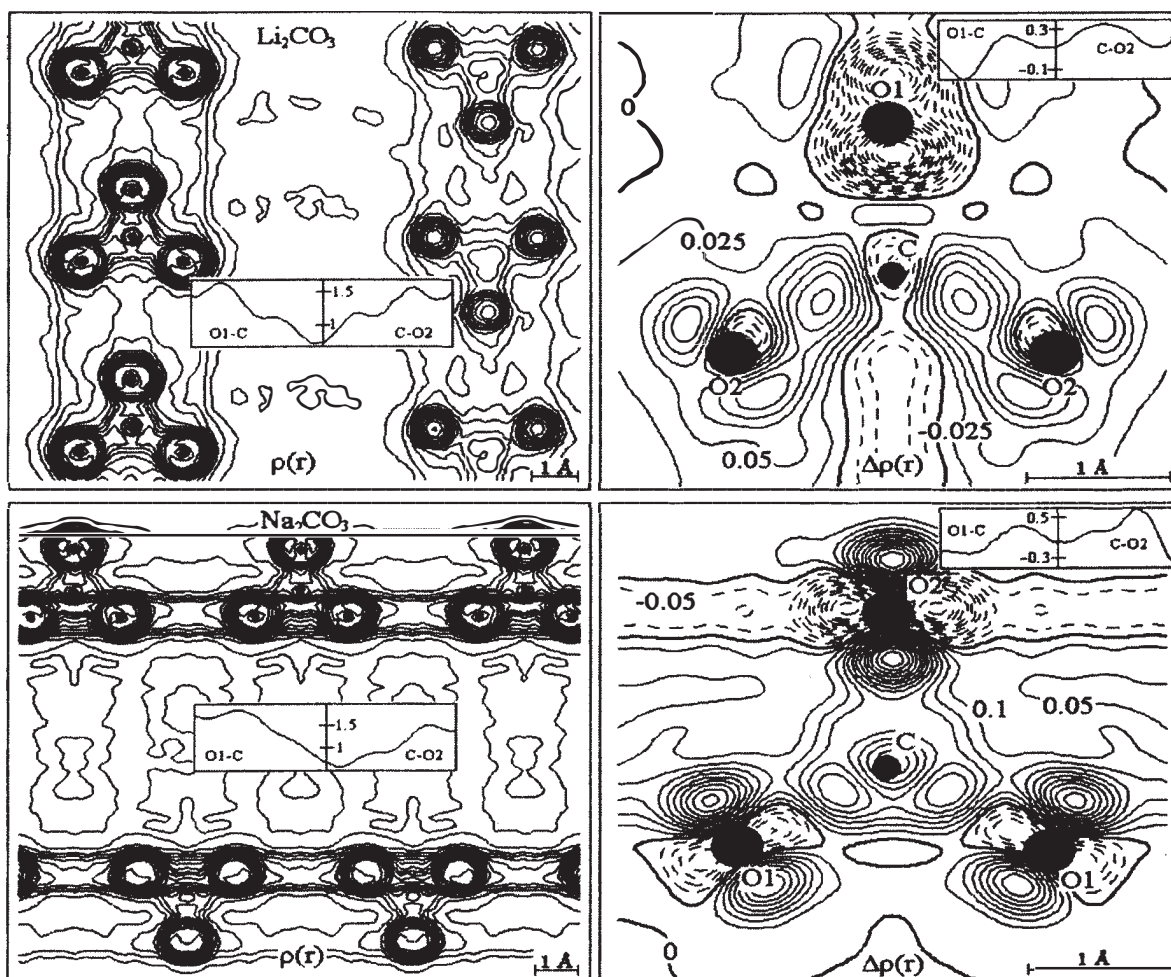


Рис. 2. Распределение валентной (слева) и разностной плотностей (справа) в анионной плоскости карбонатов лития и натрия

Заключение

Проведенные теоретические исследования электронного строения карбонатов лития и натрия позволили установить, что, несмотря на наличие общего аниона, энергетический спектр и зарядовая плотность в этих соединениях различаются. Переход от лития к натрию сопровождается уширением как всей валентной зоны, так и ее верхних областей, уменьшением ширины запрещенной зоны, изменением структуры спектра плотности состояний. Причиной этого является изменение характера гибридизации между составляющими кристаллы подрешетками. Перекрывание электронных облаков соседних анионов приводит к образованию в кристаллах цепочечной структуры, роль стабилизатора которой играют катионные подрешетки. Наличие трех неэквивалентных подрешеток натрия приводит к существенному отличию в картах распределения разностной плотности. Обусловленный взаимодействием подрешеток переток заряда указывает на его неравномерный характер для неэквивалентных в кристал-

лографическом отношении атомов кислорода. Их зарядовое состояние и сила химического связывания с углеродом и оказываются различными. Очевидно, следует ожидать заметных отличий в физических и физико-химических свойствах этих соединений.

Литература

1. Журавлев, Ю. Н., Поплавной А. С. ФТТ **43**, 11, 1984 (2001).
2. Idemoto, Y., J. W. Jr. Richardson, N. Koura, S. Kohara, C.-K. Loong. J. Phys. Chem. Solid. **56**, 3, 363 (1998).
3. Dusek, M., G. Chapuis, M. Meyer, V. Petricek. Acta Cryst. **B59**, 337 (2003).
4. Zubkova, N. V., D. Yu. Pushcharovsky, G. Ivaldi, G. Ferraris, I.V. Pekov, N.V. Chukanov. N. Jb. Miner. Mh. **85** (2002).
5. Connor, J. A., L. H. Hiller, V. R. Saunders, M. Barter. Mol. Phys. **23**, 1, 81 (1972).